

[文章编号] 1007-3949(2011)19-01-0029-05

· 实验研究 ·

PCSK9-siRNA 在抗 ox-LDL诱导的 THP-1源性巨噬细胞凋亡中对 Bax, Bcl-2表达的影响

唐志晗, 武春艳, 任重, 刘录山, 姜志胜

(1. 南华大学心血管病研究所, 动脉硬化学湖南省重点实验室, 湖南省衡阳市 421001)

[关键词] 枯草溶菌素转换酶 9 巨噬细胞; 细胞凋亡; Bax/Bcl-2

[摘要] 目的 研究 PCSK9-sRNA 在抗 ox-LDL 诱导的 THP-1 源性巨噬细胞凋亡中对 Bax, Bcl-2 表达的影响。方法 用不同浓度 ox-LDL 处理 THP-1 源性巨噬细胞不同时间, 免疫印迹法检测 Bax, Bcl-2 表达变化。应用 Lipofectam 2000 分别转染 30, 50 nmol/L 和 80 nmol/L PCSK9-sRNAs 进 THP-1 源性巨噬细胞中, 作用 24 h 后加入 ox-LDL 处理 48 h, 免疫印迹法分析细胞 Bax, Bcl-2 表达, Hoechst33258 染色观察形态评价细胞凋亡。结果 随着 ox-LDL 浓度的增加, Bax 蛋白表达上调, 而 Bcl-2 蛋白表达下调, 呈浓度依赖性, 80 μg/mL ox-LDL 处理组作用最为明显; 80 μg/mL ox-LDL 处理 THP-1 源性巨噬细胞不同时间后, Bax 蛋白表达上调, 而 Bcl-2 蛋白表达下调, 呈时间依赖性, 48 h 处理组作用最为明显; PCSK9-sRNA 能明显下调 Bax 表达, 上调 Bcl-2 表达, 且均呈浓度依赖性; Hoechst33258 染色显示, PCSK9-sRNA 转染组细胞凋亡明显减少。结论 PCSK9-sRNA 在抗 ox-LDL 诱导的 THP-1 源性巨噬细胞凋亡中下调促凋亡蛋白 Bax 表达, 上调抗凋亡蛋白 Bcl-2 表达。

[中图分类号] R363

[文献标识码] A

Effects of PCSK9 siRNA on Bax, Bcl-2 Expression in THP-1 Derived Macrophages Apoptosis Induced by ox-LDL

TANG ZhiHan, WU ChunYan, REN Zhong, LIU LuShan, and JIANG ZhiSheng

(1. Institute of Cardiovascular Disease, Key Lab for Arteriosclerosis of Hunan Province, University of South China, Hengyang 421001, China)

[KEY WORDS] Proprotein Convertase Subtilisin / Kexin Type 9, Macrophages, Cell Apoptosis, Bax/Bcl-2

[ABSTRACT] Aim To explore the effect of PCSK9-sRNA on Bax, Bcl-2 expression in THP-1 derived macrophages apoptosis induced by ox-LDL. Methods Cells were incubated with varied concentrations of ox-LDL for different time

Western blot were conducted to detect the expression of Bax and Bcl-2. The sRNAs for PCSK9 were designed and synthesized, then THP-1 macrophages were transfected with PCSK9-sRNA (30, 50, 80 nmol/L) for 24 h and then a high level of ox-LDL (80 μg/mL) for an additional 48-hr. Bax, Bcl-2 protein levels were measured by Western blot and apoptosis was measured with Hoechst 33258 staining. Results ox-LDL (20, 40, 60, 80 μg/mL) increased Bax expression in a dose-dependent manner, but inversely decreased Bcl-2 expression. Furthermore, 80 μg/mL ox-LDL increased Bax expression in a time-dependent manner, but inversely decreased Bcl-2 expression. However, PCSK9-sRNA attenuated ox-LDL-induced up-regulation of Bax, down-regulation of Bcl-2, and THP-1 cell apoptosis in a dose-dependent manner.

Conclusion The effect of PCSK9-sRNA against ox-LDL-induced THP-1 cell apoptosis is associated with down-regulating of Bax and up-regulating of Bcl-2.

[收稿日期] 2010-10-05

[基金项目] 湖南省应用基础研究计划重点项目 (2008FJ2006), 湖南省科技厅计划项目 (2009TP4057-2, 2010TP4008-2), 湖南省教育厅重点科研项目 (10A105) 及湖南省高校科技创新团队支持计划资助项目。

[作者简介] 唐志晗, 硕士, 讲师, 研究方向为动脉粥样硬化发病机制与防治, Email 为 tangzhihan98@yahoo.com.cn。武春艳, 硕士, 研究方向为动脉粥样硬化发病机制与防治。通讯作者刘录山, 博士, 教授, 硕士研究生导师, Email 为 liuls2000@163.com。通讯作者姜志胜, 博士, 教授, 博士研究生导师, 研究方向为动脉粥样硬化发病机制与防治, Email 为 zsjiang2005@163.com。

氧化低密度脂蛋白 (ox-LDL)诱导细胞凋亡是动脉粥样硬化 (atherosclerosis As)发生发展的重要机制,深入研究 ox-LDL诱导细胞凋亡的机制具有重要的意义。前蛋白转化酶枯草溶菌素 9 (proprotein convertase subtilisin / kexin type 9, PCSK9)是新发现的一个与血液胆固醇代谢调节相关的基因,PCSK9编码神经细胞凋亡调节转化酶 1 蛋白 (neural apoptosis regulated convertase 1, NARC-1),该基因属于蛋白转化酶家族^[1]。目前也有研究发现 PCSK9可能与神经细胞凋亡相关^[2]。本课题组的前期研究工作发现,PCSK9 在 THP-1 源性巨噬细胞中有表达,应用 RNA 干扰技术抑制 PCSK9 表达能明显抑制 ox-LDL 诱导的巨噬细胞凋亡^[3],结果表明巨噬细胞的凋亡与 PCSK9 可能存在某种相关性,但 PCSK9 影响巨噬细胞凋亡的分子机制尚不清楚。为此,本研究以 THP-1 源性巨噬细胞为研究对象,运用 RNA 干扰技术将 PCSK9 基因沉默,观察其对凋亡调节蛋白 Bax/Bcl-2 的影响。

1 材料与方法

1.1 细胞与试剂

THP-1 细胞购自中科院上海细胞生物所细胞中心; RPM I-1640 培养基为 Gibco 产品; Lipofectamine2000 脂质体转染试剂购自广州英伟创津公司; sRNA 由广州锐博生物科技有限公司合成; Bcl-2 和 Bax 抗体购自博士德生物公司; 辣根过氧化物酶标记的二抗购自美国联科生物公司; Hoechst33258 荧光染色试剂盒购自江苏碧云天生物技术有限公司; 其他试剂均为国产分析纯。

1.2 低密度脂蛋白的分离、氧化修饰及鉴定

健康人血浆购自衡阳市中心血站。按照以前的方法制备低密度脂蛋白,用序列超速离心法制备 LDL (密度为 $1.019 \sim 1.063 \times 10^3$ g/L),用 $10 \mu\text{mol/L}$ CuSO₄ 氧化修饰成氧化型低密度脂蛋白,采用 0.5% 的琼脂糖凝胶电泳鉴定修饰程度,过滤除菌,4℃保存备用。

1.3 细胞培养

THP-1 细胞用含有 10% 小牛血清 RPM I 1640 培养液,在 37℃,5% CO₂ 培养箱中静置培养。培养基中加 HEPES 10 mmol/L,在每次实验前用 160 nmol/L 佛波酯孵育 24 h,使其诱导分化成巨噬细胞。

1.4 Western blotting

各实验组实验终点时收集细胞,经 PBS 洗涤 3 次,加入悬浮细胞裂解液裂解细胞,置于冰上 20 min 后,于 4℃,10 000 g 离心 10 min,小心吸出上清液,用

BCA 法进行蛋白质定量,取 50 μg 蛋白质/泳道加入等体积 5×SDS 凝胶加样缓冲液,煮沸使蛋白变性。80 V 积层胶,120 V 分离胶,电泳分离蛋白质,80 mA 1 h 将蛋白质转移至 PVDF 膜上。5% 脱脂牛奶 4℃ 封闭 12 h,加入一抗,4℃ 8 h TBST 洗膜 15 min,加入辣根过氧化物酶标记的二抗,室温孵育 2 h, TBST 洗膜 15 min,然后用 Western blot 荧光检测试剂激发荧光,显示于 X 光片,显影,定影后进行图像分析。

1.5 PCSK9 sRNA 设计制备及转染细胞

在 GenBank 中查到人 PCSK9 mRNA 序列 (编号 NM-174936),并设计 PCSK9 sRNA,其序列经序列相似性软件比对不与任何已知基因有同源性,PCSK9 sRNA 由广州锐博生物科技有限公司合成并进行荧光标记,PCSK9 sRNA 正义链: 5'-GGCAGAGACUGAUCCACUU dTdT -3', 反义链: 3'-dTdT CCGUCUCUGACUAGGUGAA -5'; 阴性对照 sRNA 由该公司提供。sRNA 成品为已退火的冻干粉,使用前用稀释缓冲液将其溶解成 20 μmol/L 的工作母液。所有 sRNA 均经过变性和非变性聚丙酰胺凝胶电泳纯化,去除未配对单链。

参照文献 [3] 方法及 PCSK9 sRNAs 有效浓度筛选结果,应用 Lipofectamine2000 分别转染 30、50 nmol/L 和 80 nmol/L 浓度 PCSK9 sRNAs 进 THP-1 源性巨噬细胞中。

1.6 Hoechst33258 染色

THP-1 源性巨噬细胞在每次实验前换无血清培养基培养 12 h 后,将细胞接种于 6 孔板内,各实验组按要求给以不同处理因素作用一定时间后,加入固定液于 4℃ 固定细胞 10 min,去除固定液,用 PBS 冲洗两遍, Hoechst33258 染色液染色 10 min,水冲洗晾干,以紫外光 340 nm 波长激发,荧光显微镜下观察,摄片。在凋亡细胞中,细胞膜对 Hoechst33258 的通透性增高,并且由于染色体高度浓缩, Hoechst33258 与之结合增强,染色呈强蓝色荧光,而正常细胞只呈微弱荧光,死细胞则不被染色,由此可检测出细胞凋亡。

1.7 统计学处理

实验所得数据采用 $\bar{x} \pm s$ 表示。用 SPSS 15.0 进行统计处理,组间比较采用 t 检验,以 $P < 0.05$ 为差异有统计学意义。

2 结果

2.1 ox-LDL 对 THP-1 源性巨噬细胞中凋亡调节蛋白 Bax、Bcl-2 表达的影响

分别用 0、20、40、60 μg/mL 和 80 μg/mL ox-

LDL处理 THP-1源性巨噬细胞 48 h 蛋白表达结果显示促凋亡蛋白 Bax 表达呈浓度依赖性上调(图 1 A),而抗凋亡蛋白 Bcl-2表达呈浓度依赖性下调(图 1B), Bax/Bcl-2蛋白比值则呈浓度依赖性上调(图 1C),以 80 μg/mL ox-LDL 处理组效果最为明显,选此浓度作为后续实验的有效剂量。

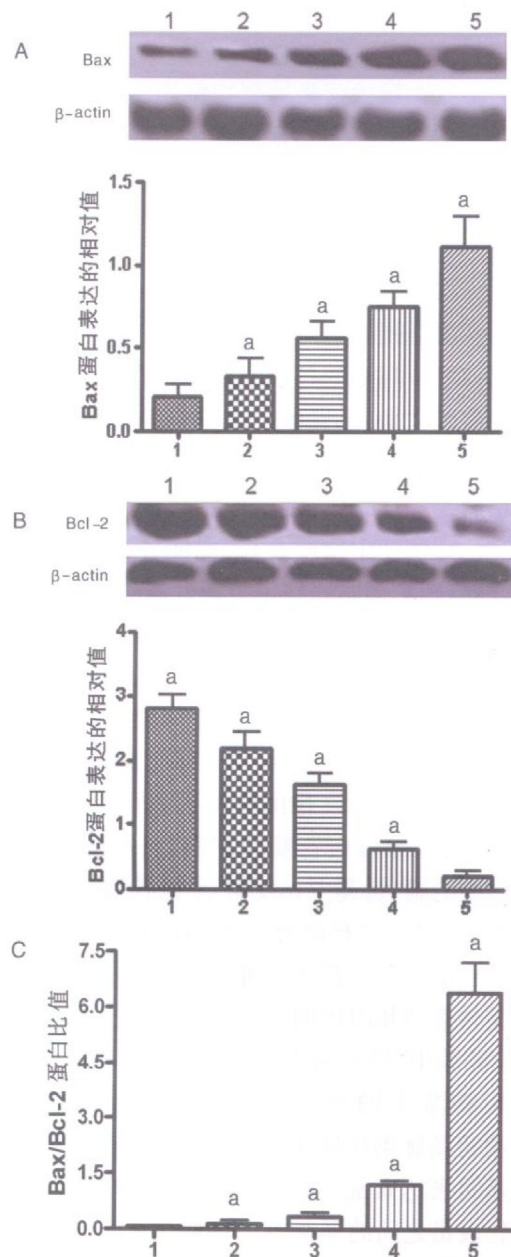


图 1 不同浓度 ox-LDL 对 THP-1 源性巨噬细胞中 Bax 和 Bcl-2 蛋白表达的影响 1 为空白对照组, 2 为 20 μg/mL ox-LDL 处理组, 3 为 40 μg/mL ox-LDL 处理组, 4 为 60 μg/mL ox-LDL 处理组, 5 为 80 μg/mL ox-LDL 处理组; a 为 $P < 0.05$ 与对照组相比, $n = 3$ 。

Figure 1 Expression of Bax and Bcl-2 proteins in THP-1-derived macrophages treated with varied concentrations of ox-LDL

用 80 μg/mL ox-LDL 处理 THP-1 源性巨噬细胞

0.6、12、24、48 h Western blot 检测蛋白表达结果显示 Bax 蛋白表达呈时间依赖性上调(图 2A),而 Bcl-2蛋白表达呈时间依赖性下调(图 2B), Bax/Bcl-2蛋白比值呈浓度依赖性上调(图 2C),以 80 μg/mL ox-LDL 处理 48 h 效果最为明显,因此选此时间点用于后续实验。

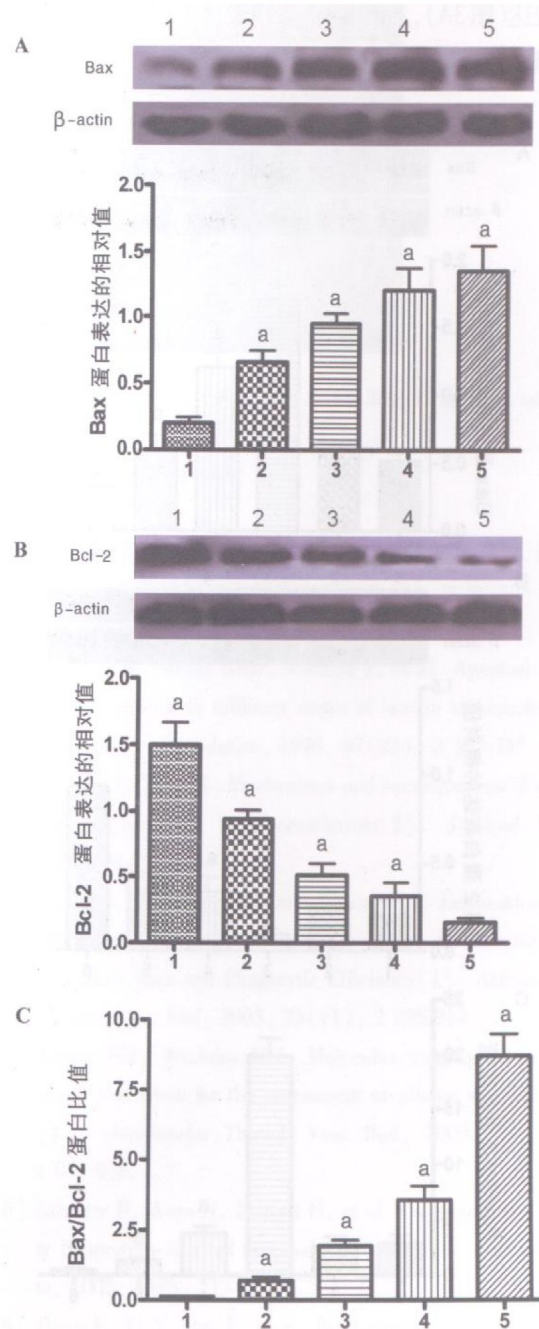


图 2 80 μg/mL ox-LDL 处理 THP-1 源性巨噬细胞不同时间对 Bax 和 Bcl-2 蛋白表达的影响 1 为空白对照组, 2 为 6 h 处理组, 3 为 12 h 处理组, 4 为 24 h 处理组, 5 为 48 h 处理组, a 为 $P < 0.05$ 与对照组相比, $n = 3$ 。

Figure 2 Expression of Bax and Bcl-2 proteins in THP-1-derived macrophages treated with 80 μg/mL ox-LDL at different times

2.2 PCSK9 sRNA 对 ox-LDL诱导的 THP-1 源性巨噬细胞凋亡中 Bax 和 Bcl2 表达的影响

用 30, 50 nmol/L 和 80 nmol/L 浓度 PCSK9 sRNAs 转染进 THP-1 源性巨噬细胞 24 h 后, 再加入 80 μg/mL ox-LDL 处理 48 h 检测其对 Bcl2 和 Bax 表达的影响。Western blot 结果显示 PCSK9 sRNA 能明显下调 Bax 蛋白表达(图 3A), 上调 Bcl2 蛋白表达(图 3B), Bax/Bcl2 蛋白比值也逐渐减少(图 3C), 且均呈浓度依赖性。

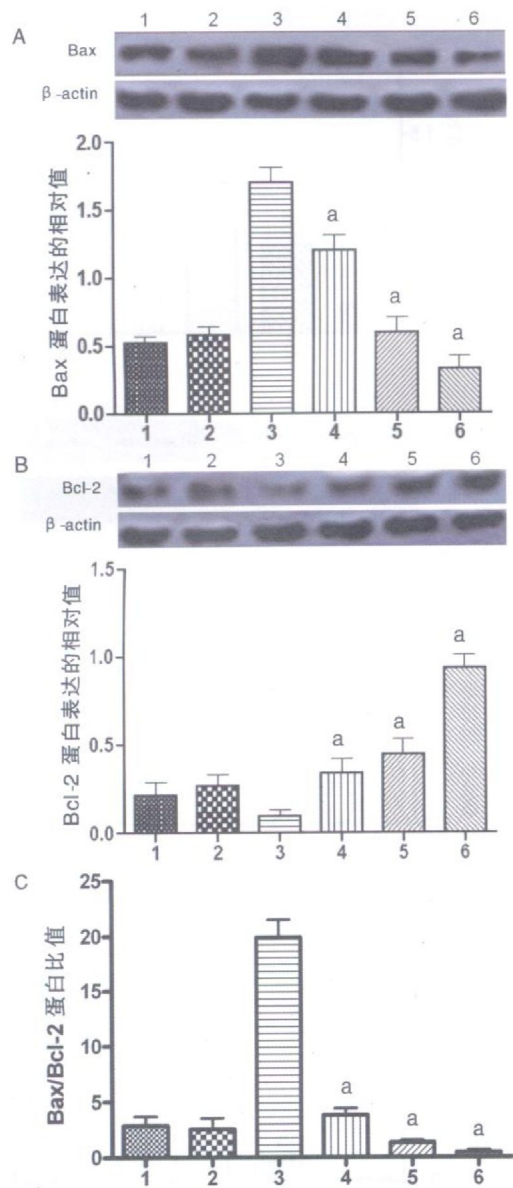


图 3 不同浓度 PCSK9 sRNA 对 ox-LDL 诱导的 THP-1 源性巨噬细胞凋亡中 Bax 和 Bcl2 表达的影响 1 为对照组, 2 为单独转染组, 3 为 80 μg/mL ox-LDL 处理组, 4 为 30 nmol/L PCSK9 sRNA + 80 μg/mL ox-LDL 处理组, 5 为 50 nmol/L PCSK9 sRNA + 80 μg/mL ox-LDL 处理组, 6 为 80 nmol/L PCSK9 sRNA + 80 μg/mL ox-LDL 处理组; a 为 $P < 0.05$ 与 ox-LDL 处理组相比, $n = 3$

Figure 3 Effect of PCSK9 sRNA on Bax, Bcl2 expression in THP-1 derived macrophages apoptosis induced by ox-LDL

2.3 PCSK9 sRNA 对 ox-LDL 诱导的 THP-1 源性巨噬细胞凋亡的影响

设置空白对照组(未加 ox-LDL), 单独转染组(未加 ox-LDL), 80 mg/L ox-LDL 处理组, 80 nmol/L PCSK9 sRNA + 80 μg/mL ox-LDL 处理组, 作用 48 h 后, 采用 Hoechst33258 染色, 荧光显微镜观察细胞核形态, 结果如图 4 所示, 与空白对照组相比, 80 μg/mL ox-LDL 处理组出现细胞核呈浓染致密的固缩形态或颗粒状荧光的凋亡细胞, 凋亡形态较明显, 而转染 80 nmol/L PCSK9 sRNA 后再用 80 μg/mL ox-LDL 处理组凋亡则不明显。

3 讨 论

动脉粥样硬化是一种与细胞凋亡密切相关的病理过程, 在 As 病变的各个时期都存在细胞凋亡^[4]。巨噬细胞凋亡是 As 发生中最重要的机制之一^[5, 6]。大量研究发现: 在 As 病变晚期阶段, 大量的巨噬细胞凋亡后, 一方面释放细胞内脂质进入坏死脂质核心, 促进 As 病变中脂质蓄积, 促使 As 病变的进展; 另一方面, 凋亡细胞碎片得不到有效清除, 从而通过所谓的凋亡后巨噬细胞坏死激发炎症反应, 促使临近细胞的进一步损伤, 促使斑块进展, 最终导致斑块破裂, 并释放大量组织因子, 导致斑块破裂后血栓的形成, 临幊上出现急性冠状动脉综合征的表现^[5-7]。

诸多动脉粥样硬化的危险因素(如 ox-LDL 感染等)都可以导致血管壁内皮细胞、平滑肌细胞和巨噬细胞的凋亡, 其中 ox-LDL 是诱导细胞凋亡的最主要因素^[5, 8]。已有研究证实, ox-LDL 诱导的巨噬细胞凋亡途径至少存在 3 种^[5, 8]: 线粒体凋亡途径, 死亡受体途径和内质网应激介导的细胞凋亡途径。而 Bcl 家族中, 既有抗凋亡基因, 也有促凋亡基因, 是凋亡调节中的另外的一个重要因素, Salvayre 等^[8]报道动脉粥样硬化斑块中 ox-LDL 可诱发凋亡相关基因表达紊乱, 通过促使 Bcl 家族促凋亡和抗凋亡成员之间的平衡点向细胞凋亡方向移位, 从而导致凋亡失衡。Edward 等^[9]也发现 Bcl2 在 As 病变晚期斑块中明显抑制巨噬细胞的凋亡, 对斑块稳定性起保护作用。

前期研究已证实 PCSK9 sRNA 可抑制 ox-LDL 诱导的巨噬细胞凋亡, 其是否是通过直接影响凋亡相关基因表达而调节 ox-LDL 诱导的细胞凋亡呢? 本实验采用不同浓度的 ox-LDL 诱导 THP-1 源性巨噬细胞凋亡, 发现随着 ox-LDL 处理浓度的增加, Bax 蛋白表达上调, Bcl2 蛋白表达下调, Bax/Bcl2

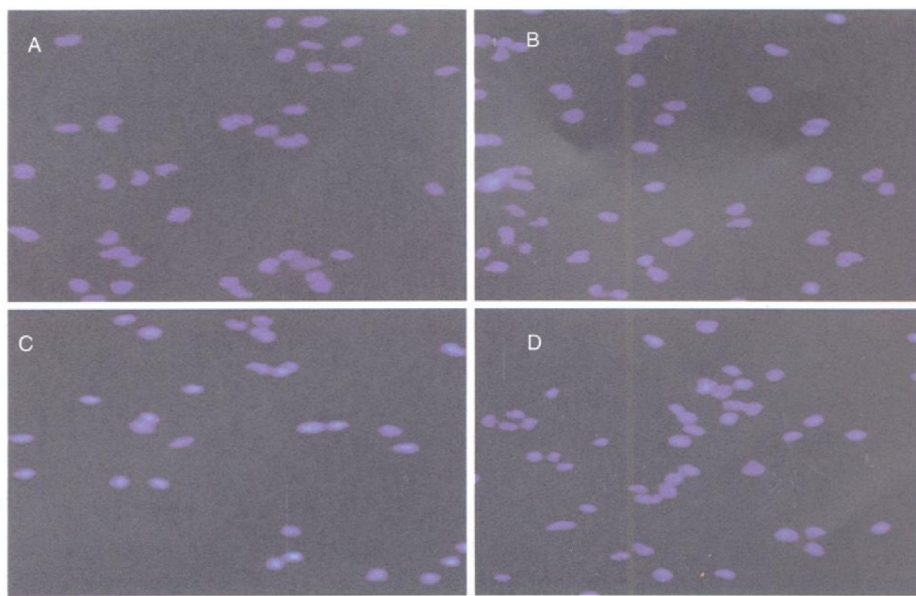


图 4 PCSK9 siRNA 对 ox-LDL诱导的 THP-1源性巨噬细胞凋亡的影响 A 为对照组, B 为单独转染组, C 为 80 μg/mL ox-LDL 处理组, D 为 80 nmol/L PCSK9 siRNA + 80 μg/mL ox-LDL 处理组。

Figure 4 Effect of PCSK9 siRNA on ox-LDL-induced THP-1-derived macrophage apoptosis

蛋白比值也呈浓度依赖性上调。本次实验选取 80 μg/mL ox-LDL 处理 THP-1 源性巨噬细胞不同时间,发现 Bax 蛋白质的表达呈时间依赖性上调,而 Bcl-2 蛋白质表达呈时间依赖性下调, Bax/Bcl-2 蛋白比值呈浓度依赖性上调。而用不同浓度的 PCSK9 siRNA 转染 THP-1 源性巨噬细胞后,可以抑制这种效果,发现 PCSK9 siRNA 呈浓度依赖性下调 Bax 蛋白质的表达,上调 Bcl-2 蛋白质表达,同时 Bax/Bcl-2 蛋白比值呈浓度依赖性下调。Hoechst33258 染色结果也显示 PCSK9 siRNA 转染组凋亡细胞较 ox-LDL 处理组明显减少。以上结果提示 PCSK9 是 ox-LDL 诱导的巨噬细胞凋亡的重要正向调节基因,抑制 PCSK9 表达可以抑制 ox-LDL 诱导的巨噬细胞凋亡,其机制与下调促凋亡蛋白 Bax 表达,上调抗凋亡蛋白 Bcl-2 表达有关。

参考文献

- [1] Seidah NG, Benjannet S, Wickenham L, et al. The secretory proprotein convertase neural apoptosis-regulated convertase 1 (NARC-1): liver regeneration and neuronal differentiation [J]. Proc Natl Acad Sci USA, 2003, 100(3): 928-933.
- [2] Bingham B, Shen R, Kotnis S, et al. Proapoptotic effects of NARC 1 (=pcsk9), the gene encoding a novel serine protease [J]. Cytometry A, 2006, 69(11): 1123-131.

- [3] 刘录山, 谢闵, 姜志胜, 等. pcsk9 siRNA 对 ox-LDL 诱导的 THP-1 源性巨噬细胞凋亡的影响 [J]. 生物化学与生物物理进展, 2009, 36(3): 323-330.
- [4] Kockx MM, Meyer GRD, Muhring J, et al. Apoptosis and related proteins in different stages of human atherosclerotic plaques [J]. Circulation, 1998, 97(23): 2307-315.
- [5] Steinon T, Tabas I. Mechanisms and consequences of macrophage apoptosis in atherosclerosis [J]. J Lipid Res, 2009, 50: S382-387.
- [6] Tabas I. Consequences and Therapeutic Implications of Macrophage Apoptosis in Atherosclerosis: The Importance of Lesion Stage and Phagocytic Efficiency [J]. Arterioscler Thromb Vasc Biol, 2005, 25(11): 2255-264.
- [7] Laufer EM, Winkens MH. Molecular imaging of macrophage cell death for the assessment of plaque vulnerability [J]. Arterioscler Thromb Vasc Biol, 2009, 29(7): 1031-038.
- [8] Salvayre R, Augé N, Benoist H, et al. Oxidized low-density lipoprotein-induced apoptosis [J]. Biochim Biophys Acta, 2002, 1585: 213-221.
- [9] Thorp E, Li Y, Bao L, et al. Brief report increased apoptosis in advanced atherosclerotic lesions of Apoe^{-/-} mice lacking macrophage Bcl-2 [J]. Arterioscler Thromb Vasc Biol, 2009, 29(2): 169-172.

(本文编辑 李小玲)